

# 图像扭曲变形

2015011462 董家富 自 54

<b>1</b>	<b>需求分析.....</b>	<b>2</b>
<b>2</b>	<b>编译环境.....</b>	<b>2</b>
<b>3</b>	<b>基本原理.....</b>	<b>2</b>
3.1	变形原理 .....	2
3.1.1	图像变换 .....	2
3.1.2	旋转变换 .....	3
3.1.3	水波纹变形 .....	4
3.1.4	B 样条变形.....	4
3.2	插值原理 .....	6
3.2.1	插值基本思路 .....	6
3.2.2	最近邻插值 .....	6
3.2.3	双线性插值 .....	6
3.2.4	双三次插值 .....	8
<b>4</b>	<b>方案设计.....</b>	<b>8</b>
4.1	旋转扭曲方案 .....	8
4.2	水波纹变形方案 .....	9
4.3	B 样条变形 .....	9
<b>5</b>	<b>结果分析.....</b>	<b>10</b>
5.1	程序界面 .....	10
5.2	变形结果 .....	11
<b>6</b>	<b>误差分析.....</b>	<b>14</b>

6.1 方法误差 .....	14
6.2 舍入误差 .....	17
7 参考文献、网站.....	17

## 1 需求分析

本次作业要求编写一个图像扭曲程序，可以实现对图像的旋转变形、水波纹变形、B样条变形。

旋转变形：确定旋转中心、旋转半径和旋转角度之后，在该制定区域完成旋转扭曲。

水波纹变形：确定中心、扭曲半径、参数 $q$ 和 $\varphi$ 之后，在指定区域完成水波纹变形。

B样条变形：交互式给定  $N_x$  和  $N_y$ （变形范围），鼠标拖动一个点到另一个点。当鼠标左键松开时，自动完成周围区域 B 样条变形功能。

## 2 编译环境

Windows 10 教育版系统

Qt Creator 5.7

## 3 基本原理

### 3.1 变形原理

#### 3.1.1 图像变换

图像变换的本质是将像素点的坐标通过某一种函数关系，映射到另外的位置。

常用的映射可以分为两类：向前映射和向后映射。

向前映射：

把输入图像的像素一个一个映射到输出图像。输入图像上整数点坐标映射到输出图像之后，变成了非整数点坐标。因此，需要将其像素值按一定权重分配到其周围四个像素点上。对于输出图像而言，其整数点像素值周围会有很多输入图像像素映射过来，每个到其周围的非整数点像素值都会分配一定的灰度值到它上面，将这些分配而来的像素值叠加，就是输出图像整数点位置的像素值。由于这个分配、叠加的特性，向前映射法有时也叫像素移交映射。

向后映射：

把输出图像的像素一个一个映射到输入图像。我们知道输出图像上整数点位置在变换前位于输入图像上的位置，一般来说这是个非整数点位置，利用其周围整数点位置的输入图像像素值进行插值，就得到了该点的像素值。我们遍历输出图像，经过坐标变换、插值两步操作，我们就能将其像素值一个个地计算出来，因此向后映射又叫图像填充映射。

### 3.1.2 旋转变换

旋转变换的本质是利用图像中的坐标点到旋转中心点的位置不同，旋转不同角度，从而实现旋转扭曲。

其向前映射基本公式如下：

$$\begin{aligned}x &= r \cos \left( \alpha + \frac{\theta(R-r)}{R} \right) + x_0 \\y &= r \sin \left( \alpha + \frac{\theta(R-r)}{R} \right) + y_0\end{aligned}$$

上式中， $r$  和  $\alpha$  为输入图像中坐标的极坐标表示形式。 $\theta$  为旋转角度， $R$  为旋转半径， $x$ 、 $y$  为输出图像中坐标， $x_0$ 、 $y_0$  为输入图像中坐标。观察该式可以发现，距离旋转中心越远的坐标，其  $r$  就越大，旋转的角度也就越大。这也是产生旋转效果的本质。

在实现旋转扭曲时，我是采用的向后映射，根据该变换公式求出了其逆变换公式为：

$$x_0 = r \cos \left( \alpha - \frac{\theta(R-r)}{R} \right) + x$$

$$y_0 = r \sin \left( \alpha - \frac{\theta(R-r)}{R} \right) + y$$

此时， $r$  和  $\alpha$  为输出图像中坐标的极坐标表示形式。 $\theta$  为旋转角度， $R$  为旋转半径， $x$ 、 $y$  为输出图像中坐标， $x_0$ 、 $y_0$  为输入图像中坐标。

### 3.1.3 水波纹变形

水波纹的本质依旧是利用点到中心位置的距离不同，旋转不同的角度来实现扭曲。只不过此时旋转角度改变了，加入了正弦变换，利用正弦变换的周期性，实现水波纹周期波动的效果。

其向前映射公式如下：

$$x = r \cos(\alpha + A \sin(\frac{\rho}{R} * r + \varphi)) + x_0$$

$$y = r \sin(\alpha + A \sin(\frac{\rho}{R} * r + \varphi)) + y_0$$

其中， $r$  和  $\alpha$  为输入图像中坐标的极坐标表示形式。 $A$  为水波纹振幅系数， $\rho$  和  $\varphi$  为水波纹周期和相位因子， $x_0$ 、 $y_0$  为输入图像中坐标。观察该式子，可以发现，距离旋转中心不同的点，其旋转角度也是不同的，只是不再与  $r$  呈线性递减的关系，而是正弦关系。调节参数  $A$ ， $\rho$ ， $\varphi$  即可调节水波纹的振幅、频率和相位。

### 3.1.4 B 样条变形

给定  $m+n+1$  个平面或空间顶点  $P_i (i = 0, 1, 2, \dots, m+n)$ ，称为  $n$  次参数曲线段。

$$P_{k,n}(t) = \sum_{i=0}^n P_{i+k} G_{i,n}(t), \quad t \in [0,1]$$

为第  $k$  段  $n$  次 B 样条曲线段( $k=0,1,2,\dots,m$ )，这些曲线段全体称为  $n$  次 B 样条曲线，其顶点  $P_i (i = 0,1,2, \dots, m+n)$  所组成的多边形称为 B 样条曲线的特征多边形。其中  $G_{i,n}(t)$  称为基函数， $P_i (i = 0,1,2, \dots, m+n)$  称为控制点。

我采用的是三次 B 样条变形，所以其基函数为：

$$\begin{cases} G_{0,3}(t) = \frac{(1-t)^3}{6} \\ G_{1,3}(t) = \frac{3t^3 - 6t^2 + 4}{6} \\ G_{2,3}(t) = \frac{3t^3 + 3t^2 + 3t + 1}{6} \\ G_{3,3}(t) = \frac{t^3}{6} \end{cases}$$

其中  $t \in [0,1]$ ，若某个控制点  $P_i$  移动了  $\Delta P_i$ ，区间长度  $u_{j+1} - u_j = N_x$ ，则点  $x$  处的位移为：

$$v(x) = \sum_{l=0}^3 G_{l,3}(u) \Delta P_{i+l}$$

其中， $u = \frac{x}{N_x} - \left\lfloor \frac{x}{N_x} \right\rfloor$ ， $i = \left\lfloor \frac{x}{N_x} \right\rfloor - 1$ 。

将其扩展到二维，有

$$v_x(x, y) = \sum_{l=0}^3 \sum_{m=0}^3 G_{l,3}(u) G_{m,3}(v) \Delta P_{x(i+l, j+m)}$$

$$v_y(x, y) = \sum_{l=0}^3 \sum_{m=0}^3 G_{l,3}(u) G_{m,3}(v) \Delta P_{y(i+l, j+m)}$$

(\*)

其中， $u = \frac{x}{N_x} - \left\lfloor \frac{x}{N_x} \right\rfloor$ ， $i = \left\lfloor \frac{x}{N_x} \right\rfloor - 1$ ， $v = \frac{y}{N_y} - \left\lfloor \frac{y}{N_y} \right\rfloor$ ， $j = \left\lfloor \frac{y}{N_y} \right\rfloor - 1$ 。

## 3.2 插值原理

### 3.2.1 插值基本思路

前面已经提到，无论是向前映射还是向后映射，一般情况下映射得到的点坐标不会刚好是整数，所以需要插值方法来得到映射后图像整数点的像素值。常见的插值方法有：最近邻插值、双线性插值、双三次插值，本次作业我使用的也正是这三种。

本次作业我都是采用的向后映射，即遍历输出图像中的每一个坐标点，找到其对应的输入图像中的点坐标，再利用插值方法求得该点在输入图像中的像素值，令输出图像中对应坐标点的像素值等于该值。

### 3.2.2 最近邻插值

最近邻插值是最简单的一种插值方法。设输出图像中的坐标点 $(x_1, y_1)$ （整数点），在映射求得输入图像中点的坐标 $(x_0, y_0)$ （一般为非整数点）之后，对该点坐标四舍五入取整（实际是找到距离最近的坐标点），新得到的点 $(x_2, y_2)$ 必然是整数点， $(x_2, y_2)$ 像素值也就是输出图像在对应点 $(x_1, y_1)$ 的像素值。

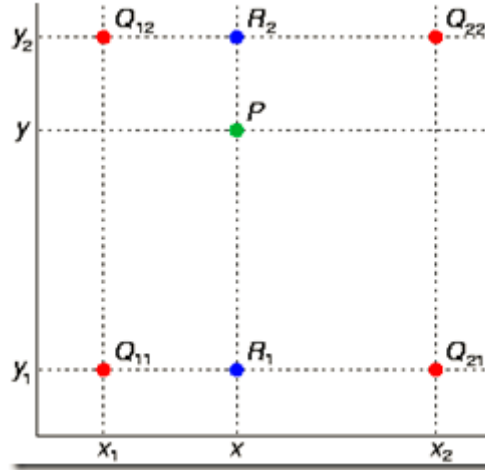
方法评价：

这种方法的优点是算法比较简单，运算速度很快。但是也存在严重的缺陷，例如边缘失真，产生锯齿。

### 3.2.3 双线性插值

设输出图像中整数点为 $(x_1, y_1)$ ，在映射求得输入图像中点的坐标 $(x_0, y_0)$ 之后，根据距离该点最近的四个坐标点求出该点像素值。

下面举个例子：



设  $P$  为插值点,  $Q_{11}(x_1, y_1)$ ,  $Q_{12}(x_1, y_2)$ ,  $Q_{21}(x_2, y_1)$ ,  $Q_{22}(x_2, y_2)$  为  $P$  点周围四个网格点, 需要根据这四个点确定  $P$  的像素值。

首先在  $x$  方向上插值, 得到:

$$f(R_1) \approx \frac{x_2 - x}{x_2 - x_1} f(Q_{11}) + \frac{x - x_1}{x_2 - x_1} f(Q_{21}) \quad \text{Where } R_1 = (x, y_1),$$

$$f(R_2) \approx \frac{x_2 - x}{x_2 - x_1} f(Q_{12}) + \frac{x - x_1}{x_2 - x_1} f(Q_{22}) \quad \text{Where } R_2 = (x, y_2).$$

然后在  $y$  方向进行插值, 得到:

$$f(P) \approx \frac{y_2 - y}{y_2 - y_1} f(R_1) + \frac{y - y_1}{y_2 - y_1} f(R_2).$$

方法评价:

双线性插值算法比最近邻插值稍微复杂一些, 但是比双三次插值更简单。其效果明显强于最近邻插值, 但是比双三次插值略逊。

### 3.2.4 双三次插值

双线性的插值是三种插值方法中最复杂的。计算某一点的像素值需要利用其周围的 16 个点，所以最终得到的结果也会更加光滑。

其计算公式如下：

$$f(i+u, j+v) = (S(u+1) \ S(u) \ S(u-1) \ S(u-2)) f(i-1:i+2, j-1:j+2) \begin{pmatrix} S(v+1) \\ S(v) \\ S(v-1) \\ S(v-2) \end{pmatrix}$$

其中， $(i+u, j+v)$  为映射到输入图像中的点， $u, v \in [0,1)$ ，

$S(x)$  为插值基函数：

可以由以下式子近似：

$$S(x) = \begin{cases} 1 - 2|x|^2 + |x|^3, & |x| \leq 1 \\ 4 - 8|x| + 5|x|^2 - |x|^3, & 1 < |x| < 2 \\ 0 & \text{otherwise} \end{cases}$$

方法评价：双三次插值的计算比较复杂，用到的点也比较多，其插值核函数和插值多项式都具有较好的连续性和可导性。因此其效果是三种插值方法中最好的。

## 4 方案设计

### 4.1 旋转扭曲方案

遍历输出图像中每一个像素点  $(x, y)$ ，根据前面说到底的旋转扭曲逆变换求出该点映射到输入图像中点  $(x_0, y_0)$ ，然后根据选择的插值方法确定  $(x_0, y_0)$  点处像素值，将得到的像素值赋给  $(x, y)$  点。即完成扭曲变形。



## 4.2 水波纹变形方案

观察水波纹的映射公式可以发现，不论是正变换还是反变换都可以实现水波纹扭曲变形，所以不需要对前面提到的正变换公式做出改动。

具体方法与旋转扭曲相同，若要实现动态水波纹，则需要加入 Qt 中一个 QTimer 类，每隔固定时间增加参数  $\varphi$  的值（我设定为每隔 150ms， $\varphi$  增加 10）。

## 4.3 B 样条变形

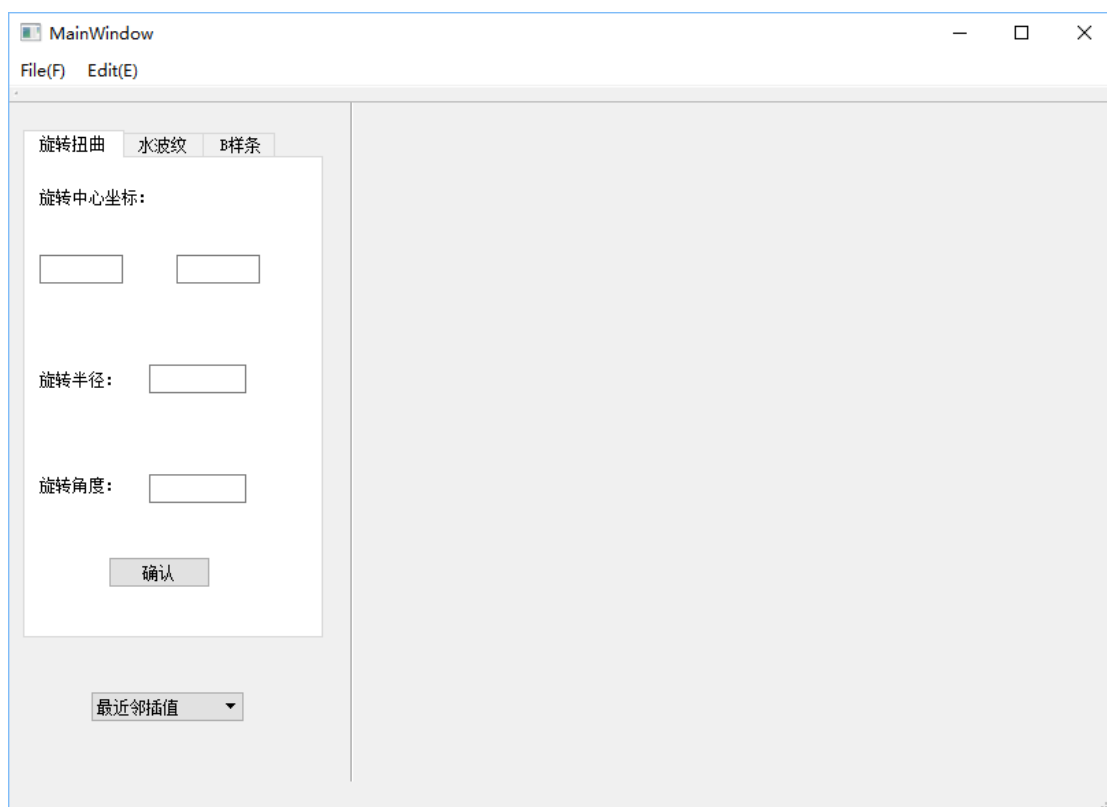
若强行求取 B 样条的反变换会涉及到求解高次方程，这将在很大程度上的限制变形速度。为了实现比较好的效果，且不影响变形速度，我的算法是：输出图像中的点减去根据公式 (\*) 计算出的位移，便得到其对应的输入图像中点。

从原理上来说，这样的反变换肯定是不正确的，但是得到的最终效果还勉强达到预期。

本次作业每次 B 样条变换改变的控制点都只有一个，用户可以通过拖动实现点的移动，以拖动起始点为中心建立一个 4\*4 的区域，每个区域的网格数  $N_x * N_y$  通过交互方式给定（ $N_x * N_y$  越大，B 样条变形区域越大，变形越明显）。

## 5 结果分析

### 5.1 程序界面



本次作业程序界面如上，可以实现【文件打开】【文件保存】【一键还原】【撤销】等基本操作。

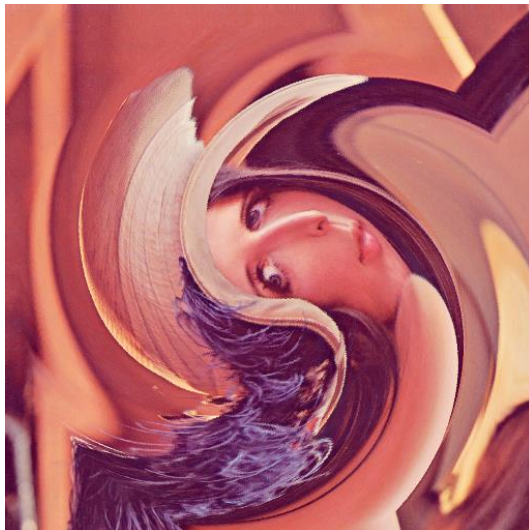
旋转扭曲：【旋转中心坐标】可以键盘输入，也可以鼠标点击图上的点。【旋转半径】和【旋转角度】都需要键盘输入，选择好插值方法之后点击【确定】即会显示变形结果。

水波纹：【中心点坐标】可以键盘输入，也可以鼠标点击。【水波纹参数设置】【半径】都需要键盘输入。若勾选了动态最终将会动态显示。选择好插值方法即可点击【确定】，此时便会显示水波纹变形结果。

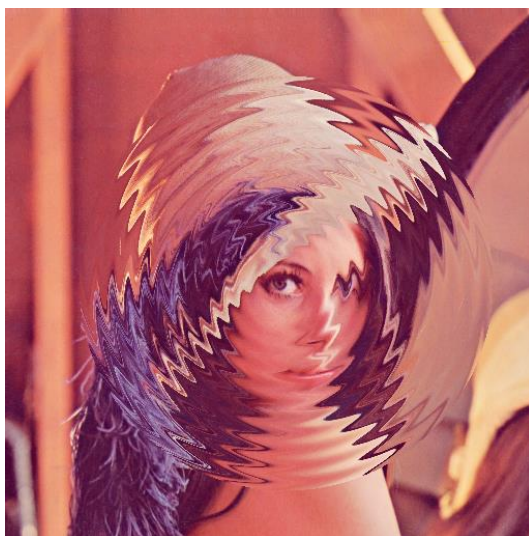
B样条：键盘输入控制方格大小，点击确定，然后拖动图片上的点，拖动完成会立即显示B样条变形结果。

## 5.2 变形结果

旋转扭曲：



水波纹：

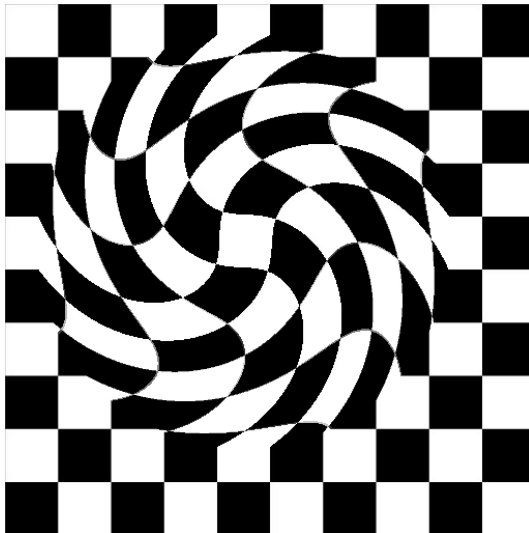


B 样条：

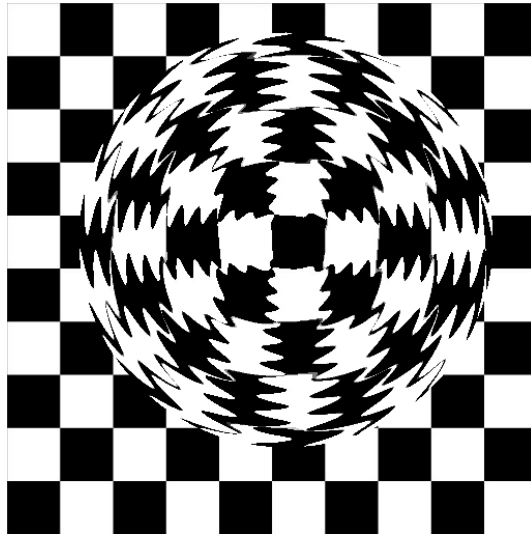


为了更加直观的显示变形效果，以下展示黑白格图片变形结果：

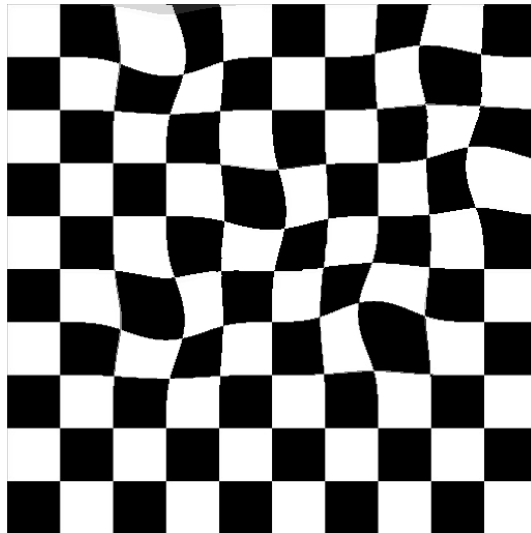
旋转扭曲：



水波纹：



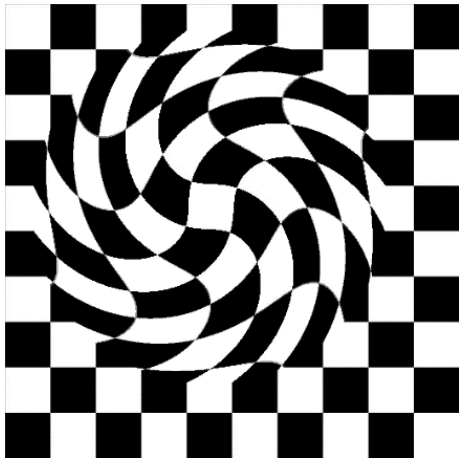
B 样条:



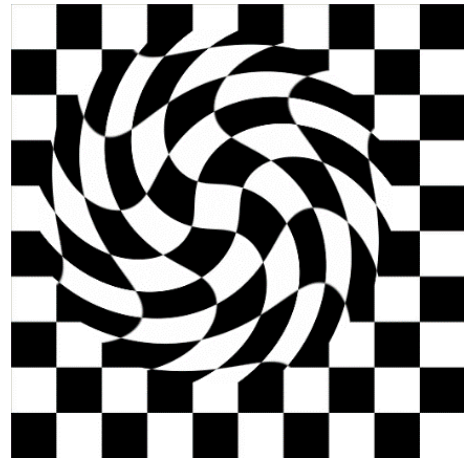
以上均是采用最近邻插值的结果，可以明显的看到，最近邻插值的缺陷——很多地方出现了锯齿。

而双线性与双三次插值会好很多，下面比较一下不同插值方法的结果差异：

以旋转扭曲为例：



最近邻



双线性



双三次

观察上面的插值结果，明显可以看出双线性和双三次的优点。

## 6 误差分析

误差来源有模型误差、观测误差、方法误差和舍入误差四种。本次作业中无模型误差；观测误差来自读取原始图像 RGB 值时的误差，其上限为 0.5；考虑剩下的方法误差和舍入误差。

### 6.1 方法误差

方法误差视具体的插值方法确定。

**最近邻插值:**

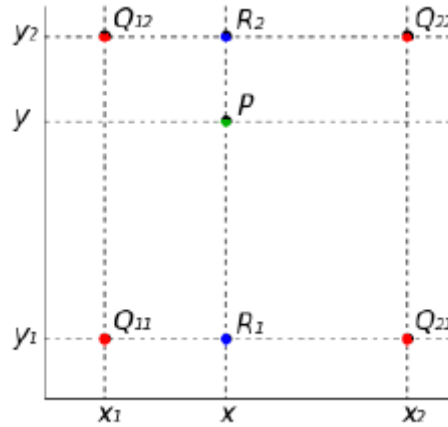
将 $(x, y)$ 的值赋为距离其最近的 $(x^*, y^*)$ 。像素值误差为:

$$\Delta|I| \leq \left| \left( \frac{\partial f}{\partial x} \right)^* \right| |\Delta x| + \left| \left( \frac{\partial f}{\partial y} \right)^* \right| |\Delta y| \leq 0.5 \left( \max \left| \frac{\partial f}{\partial x} \right| + \max \left| \frac{\partial f}{\partial y} \right| \right)$$

**双线性插值:**

双线性的实质的分两次插值，一次是对 $x$ 的插值，一次是对 $y$ 的插值。以下面插值为

例:



其中 $Q_{11}(x_1, y_1)$ ,  $Q_{12}(x_1, y_2)$ ,  $Q_{21}(x_2, y_1)$ ,  $Q_{22}(x_2, y_2)$ ,  $R_1(x, y_1)$ ,  $R_2(x, y_2)$ ,  $P(x, y)$

固定 $y$ 对 $x$ 插值，此时的插值余项为:

$$\begin{aligned} |R_1(x, j)| &= 0.5 \left| \frac{\partial^2 f(\xi_1, j)}{\partial x^2} (x - i)(x - i - 1) \right| \leq 0.5 M_1 \left( \frac{i + 1 - i}{2} \right)^2 = \frac{1}{8} M_1 \\ |R_1(x, j + 1)| &= 0.5 \left| \frac{\partial^2 f(\xi_2, j + 1)}{\partial x^2} (x - i)(x - i - 1) \right| \leq 0.5 M_1 \left( \frac{i + 1 - i}{2} \right)^2 = \frac{1}{8} M_1 \end{aligned}$$

其中,  $M_1 = \max_{i \leq x \leq i+1} \left| \frac{\partial^2 f(x, y)}{\partial x^2} \right|, j \leq y \leq j + 1$ 。

同理，在 $x$ 方向上的方法误差为:  $\frac{1}{8} M_2$

其中,  $M_2 = \max_{j \leq x \leq j+1} \left| \frac{\partial^2 f(x, y)}{\partial y^2} \right|, i \leq x \leq i + 1$

在计算 x 方向上的误差时，可以将 y 方向的插值误差看做观测误差。故有总误差为：

$$\frac{1}{8}(M_1 + M_2) = \frac{1}{8} \left( \max_{i \leq x \leq i+1} \left| \frac{\partial^2 f(x, y)}{\partial x^2} \right| + \max_{j \leq x \leq j+1} \left| \frac{\partial^2 f(x, y)}{\partial y^2} \right| \right)$$

**双三次插值：**

首先证明双三次插值核函数的可导性。

$S(x)$  在各个区间内部都是多项式，是任意阶连续可导的。考虑分段点 -2, -1, 0, 1, 2 即可。

先证明  $S(x)$  的连续性，

$$S(0^+) = S(0^-) = 1$$

$$S(1^+) = 0$$

$$S(1^-) = 0$$

$$S(2^+) = 0$$

$$S(2^-) = 0$$

以上说明，在 0, 1, 2 点  $S(x)$  连续，由对称性可得 -1, -2 点依旧连续。

证明  $S'(x)$  的连续性，

$$S'(x) = \begin{cases} 8 + 10x + 3x^2, & -2 < x < -1 \\ -4x - 3x^2, & -1 < x < 0 \\ -4x + 3x^2, & 0 < x < 1 \\ -8 + 10x - 3x^2, & 1 < x < 2 \\ 0, & \text{otherwise} \end{cases}$$

$$S'(-2^-) = 0$$

$$S'(-2^+) = 0$$

$$S'(-1^-) = 1$$



$$S'(-1^+) = 1$$

$$S'(0^-) = 0$$

$$S'(0^+) = 0$$

$$S'(1^-) = -1$$

$$S'(1^+) = -1$$

$$S'(2^-) = 0$$

$$S'(2^+) = 0$$

所以,  $S'(x)$  是连续的。

通过双三次插值得到的插值函数是一阶偏导连续的, 这个结果类似于埃尔米特插值。

所以这里我直接借用埃尔米特插值的余项公式, 得到误差:

$$\begin{cases} |R_3(x)| = \left| \frac{1}{4!} f_x^{(4)}(\xi) \omega_2^2(x) \right| \leq \frac{1}{384} M_{4x} h_x^2 \\ |R_3(y)| = \left| \frac{1}{4!} f_y^{(4)}(\xi) \omega_2^2(y) \right| \leq \frac{1}{384} M_{4y} h_y^2 \end{cases}$$

## 6.2 舍入误差

运算过程中我都是采用的 float 类型, 其舍入误差为  $\frac{1}{2} \times 10^{-5}$

计算得到 RGB 的值需要转换为整数型, 这里存在的误差上限为 0.5。

考虑到两者数量级差别比较大, 所以最终舍入误差应该取为 0.5。

## 7 参考文献、网站

- [1] 李庆扬, 王能超, 易大义 数值分析 清华大学出版社, 第5版, 2008
- [2] 维基百科“B样条”: <https://zh.wikipedia.org/wiki/B样条>